

Lösungen

# Grundlagen der Nachrichtentechnik

– WS 2018/2019 –

**Maik Röper**  
Sportturm, Raum C3220,  
Tel.: 0421/218-62387  
E-mail: roeper@ant.uni-bremen.de



Universität Bremen, FB1  
Institut für Hochfrequenz- und Nachrichtentechnik  
Arbeitsbereich Nachrichtentechnik  
Prof. Dr.-Ing. A. Dekorsy  
Postfach 33 04 40  
D-28334 Bremen



WWW-Server: <http://www.ant.uni-bremen.de>

Version vom 11. September 2018

## Inhaltsverzeichnis

<b>1</b>	<b>Kontinuierliche Signale und Systeme</b>	<b>2</b>
	Aufg. 1: Fouriertransformation . . . . .	2
	Aufg. 2: Transformation in den Tiefpaß- bzw. Basisbandbereich . . . . .	2
	Aufg. 3: Spektren analytischer Signale . . . . .	3
	Aufg. 4: Die erste Nyquistbedingung . . . . .	4
	Aufg. 5: Lineare Verzerrungen . . . . .	4
	Aufg. 6: Klirrfaktor . . . . .	5
	Aufg. 7: Additive Störungen . . . . .	5
<b>2</b>	<b>Analoge Übertragung</b>	<b>6</b>
	Aufg. 8: Zweiseitenband (ZSB)-Modulation . . . . .	6
<b>3</b>	<b>Diskretisierung von Quellensignalen</b>	<b>7</b>
	Aufg. 9: Ideale Abtastung im Zeitbereich . . . . .	7
	Aufg. 10: Quantisierung . . . . .	7
	Aufg. 11: Quantisierungsfehler . . . . .	8
<b>4</b>	<b>Digitale Übertragung</b>	<b>9</b>
	Aufg. 12: Matched Filter, 1. & 2. Nyquist-Bedingung . . . . .	9
	Aufg. 13: Matched Filter, Fehlerwahrscheinlichkeit . . . . .	10
	Aufg. 14: Bitfehlerwahrscheinlichkeit . . . . .	12
	Aufg. 15: Mittlere Symbolenergie bei 16-QAM . . . . .	14
	Aufg. 16: Differentielle PSK-Modulation . . . . .	15
<b>5</b>	<b>Codierung</b>	<b>16</b>
	Aufg. 17: Quellencodierung / Huffman-Code . . . . .	16
	Aufg. 18: Kanalkapazität eines BSC . . . . .	16
	Aufg. 19: Distanzeigenschaften / Fehlerkorrektur . . . . .	16
	Aufg. 20: Nebenklassenzerlegung und Syndromdecodierung . . . . .	17
	Aufg. 21: Generator- und Prüfmatrizen . . . . .	17

# 1 Kontinuierliche Signale und Systeme

## Aufgabe 1: Fouriertransformation

- (a) Berechnen Sie die Fourier-Transformierte der Funktion  $x(t) = A \cdot \cos(\omega_0 t + \varphi)$  unter Anwendung des Modulationsatzes.
- (b) Gegeben sei das reelle Spektrum  $X(j\omega)$ :

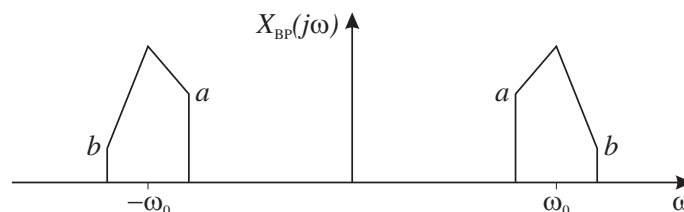
$$X(j\omega) = \text{tri}\left(\frac{\omega + \omega_0}{\omega_0}\right) + \text{tri}\left(\frac{\omega - \omega_0}{\omega_0}\right)$$

Skizzieren Sie  $X(j\omega)$ , und bestimmen Sie die zugehörige Zeitfunktion  $x(t)$ , wobei für die Dreieckfunktion gilt:

$$\text{tri}\left(\frac{\omega}{\omega_0}\right) = \begin{cases} 1 - \left|\frac{\omega}{\omega_0}\right|, & -\omega_0 \leq \omega \leq \omega_0 \\ 0, & \text{sonst} \end{cases}$$

## Aufgabe 2: Transformation in den Tiefpaß- bzw. Basisbandbereich

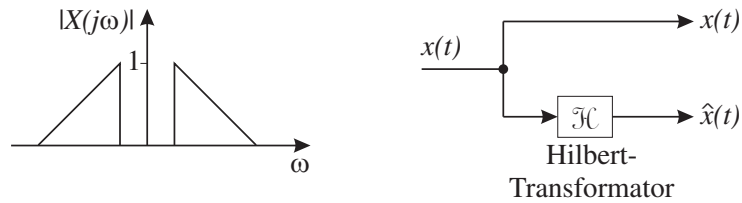
Gegeben ist das abgebildete reelle Spektrum eines Bandpaßsignals  $X_{BP}(j\omega)$ .



- (a) Skizzieren Sie das Spektrum des zugehörigen, äquivalenten Tiefpaßsignals  $X_{TP}(j\omega)$ .
- (b) Welche Bedingungen müssen die Parameter  $a$  und  $b$  erfüllen, damit das Tiefpaßsignal im Zeitbereich  $x_{TP}(t)$  reell ist?

**Aufgabe 3: Spektren analytischer Signale**

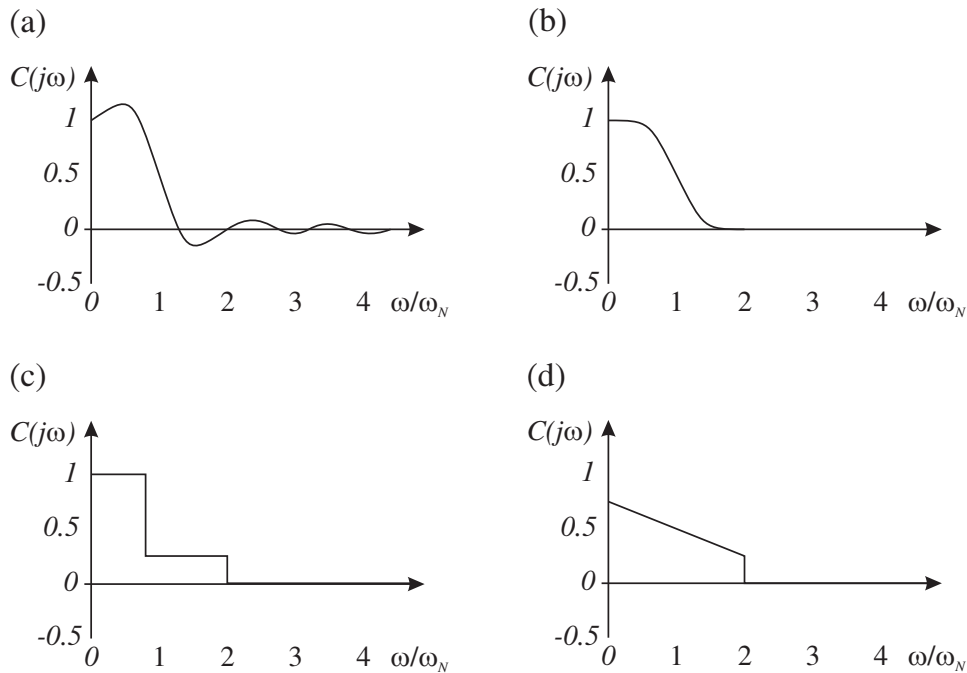
Ein reelles Signal  $x(t)$  mit dem abgebildeten Betragsspektrum  $|X(j\omega)|$  wird auf das dargestellte System gegeben.



Die beiden Ausgangssignale  $x(t)$  und  $\hat{x}(t) = \mathcal{H}\{x(t)\}$  werden zu einem komplexen Zeitsignal  $x^+(t) = x(t) + j \cdot \hat{x}(t)$  zusammengefaßt. Skizzieren Sie das Betragsspektrum  $|X^+(j\omega)| = |\mathcal{F}\{x^+(t)\}|$

### Aufgabe 4: Die erste Nyquistbedingung

Gegeben sind die abgebildeten Frequenzgänge linearphasiger Filter. Geben Sie an, ob diese Filter die erste Nyquist-Bedingung erfüllen, und liefern Sie eine kurze Begründung.



### Aufgabe 5: Lineare Verzerrungen

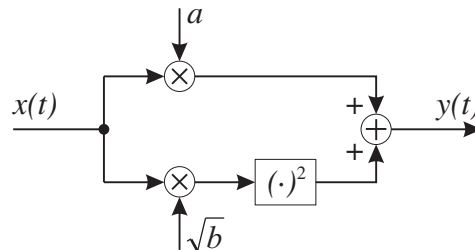
Ein Übertragungskanal habe die Impulsantwort

$$h(t) = \delta_0(t) + \delta_0(t - T)$$

- Berechnen Sie die Betragsübertragungsfunktion  $|H(j\omega)|$  sowie die Gruppenlaufzeit  $\tau_g(\omega)$  und die Phasenlaufzeit  $\tau_p(\omega)$ . Welche Eigenschaft zeichnet das Übertragungssystem  $h(t)$  aus?
- Wie wirken sich die Gruppen- und die Phasenlaufzeit auf ein übertragenes Signal aus?

**Aufgabe 6: Klirrfaktor**

Der abgebildete, gedächtnisfreie Übertragungskanal enthält eine Nichtlinearität in quadratischer Form.



Bei sinusförmigem Eingangssignal (Amplitude 1)  $x(t)$  wird am Kanalausgang ein Klirrfaktor von  $K = 5\%$  gemessen. Bestimmen Sie das Verhältnis  $a/b$ .

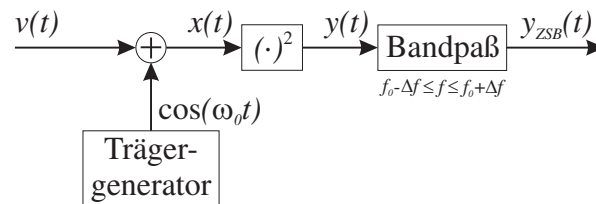
**Aufgabe 7: Additive Störungen**

Über ein analoges Übertragungsmedium wird ein sinusförmiges Signal übertragen. Die Amplitude am Empfänger sei Eins. Auf dem Übertragungsweg wird ein additives Rauschen überlagert. Die Leistung der Störung sei  $\sigma_r^2 = 0.2$ . Geben Sie das  $S/N$ -Verhältnis (SNR - signal-to-noise ratio) in dB an.

## 2 Analoge Übertragung

### Aufgabe 8: Zweiseitenband (ZSB)-Modulation

Mit der dargestellten Anordnung soll ein reines Zweiseitenband (ZSB)-Signal erzeugt werden:



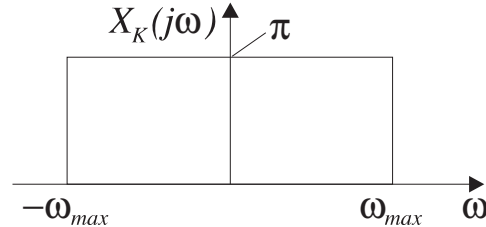
- Berechnen Sie das Eingangssignal  $y(t)$  des Bandpaßfilters und stellen Sie das entsprechende Spektrum  $Y(j\omega)$  grafisch dar.
- Welche Bedingungen müssen die Grenzfrequenz  $f_{max}$  des Signals  $v(t)$  und die Trägerfrequenz  $f_0$  erfüllen, damit am Ausgang des Bandpasses ein fehlerfreies ZSB-Signal entsteht? Wie groß sind die obere und die untere Grenzfrequenz  $f_o$  und  $f_u$  des Bandpaßfilters zu wählen?

### 3 Diskretisierung von Quellensignalen

**Aufgabe 9: Ideale Abtastung im Zeitbereich**

Das zeitkontinuierliche Signal  $x_K(t)$  des folgenden Spektrums  $X_K(j\omega)$  soll untersucht werden.

$$X_K(j\omega) = \begin{cases} \pi, & -\omega_{max} \leq \omega \leq \omega_{max} \\ 0, & \text{sonst} \end{cases}$$



(a) Berechnen Sie das Zeitsignal

$$x_K(t) = \mathcal{F}^{-1}\{X_K(j\omega)\} = \frac{1}{2\pi} \int_{-\infty}^{\infty} X_K(j\omega) e^{j\omega t} d\omega,$$

und stellen Sie es im Bereich  $-\frac{4\pi}{\omega_{max}} \leq t \leq \frac{4\pi}{\omega_{max}}$  grafisch dar.

(b) Das Signal  $x_K(t)$  werde

- (i) mit  $T_1 = \frac{1}{f_{max}} = \frac{2\pi}{\omega_{max}}$ ,
- (ii) mit  $T_2 = \frac{1}{2f_{max}} = \frac{\pi}{\omega_{max}}$  und schließlich
- (iii) mit  $T_3 = \frac{1}{4f_{max}} = \frac{\pi}{2\omega_{max}}$

abgetastet. Skizzieren Sie die abgetasteten Zeitsignale  $x_T(t)$ , indem Sie die gewichteten Dirac-Impulse durch Linien entsprechender Länge darstellen.

(c) Berechnen Sie schließlich für alle drei Fälle die resultierenden Spektren  $X_T(j\omega)$ , und stellen Sie diese grafisch dar. In welchen Fällen kann das Ausgangssignal  $x_K(t)$  sicher reproduziert werden? Wie nennt man den Fall, bei dem dieses nicht mehr gewährleistet ist?

**Aufgabe 10: Quantisierung**

Für ein Tonstudio wird ein 16-kanaliges, digitales Mischpult konzipiert. Wie groß muß die Wortbreite  $w$  in jedem Kanal mindestens sein, wenn auch unter ungünstigen Bedingungen ein  $S/N$ -Verhältnis von 86 dB gewährleistet werden soll.

**Hinweise:** Unter “ungünstigen Bedingungen” wird verstanden, daß nur in *einem* Kanal ein Nutzsinal enthalten ist, während alle anderen Kanäle unkorrelierte Quantisierungs-Rauschsignale beisteuern. Nehmen Sie für das Nutzsinal eine Sinusschwingung mit Vollaussteuerung an.

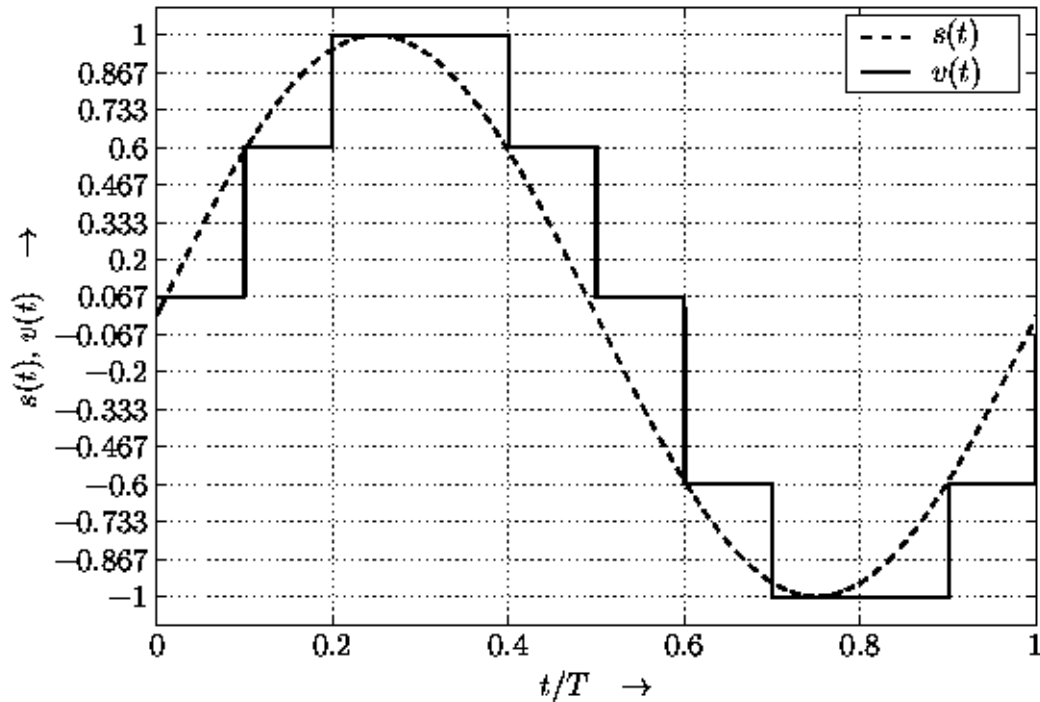
Die mittlere Leistung des Quantisierungsrauschens eines Kanals ergibt sich in Abhängigkeit von der Wortbreite zu

$$\frac{Q^2}{12} = \frac{2^{-2(w-1)}}{12}.$$



Aufgabe 11: **Quantisierungsfehler**

Ein voll ausgesteuertes, sinusförmiges Nutzsinal  $s(t) = \sin(2\pi t/T)$  soll zu den Abtastzeitpunkten  $T_A = \nu T/10$ ,  $\nu \in \mathbb{N}$ , durch  $\ell = 4$  bit codiert werden. Die Abbildung zeigt den Verlauf des entsprechenden linearen, symmetrischen Quantisierungs-Signals  $v(t)$  nach einer *Sample-and-Hold*-Stufe.



- (a) Bestimmen Sie die Quantisierungs-Stufe  $Q$  in Abhängigkeit von der Wortbreite  $\ell$ .
- (b) Berechnen Sie das S/N-Verhältnis zwischen dem Signal  $s(t)$  und dem Quantisierungs-Fehler  $q(t) = v(t) - s(t)$  in dB.

**Hinweise:** • In den Abtastzeitpunkten ergeben sich für das sinusförmige Nutzsinal die folgenden Amplituden-Werte:

$t/T$	0	0.1	0.2	0.3	0.4
$s(t)$	0	0.588	0.951	0.951	0.588

$t/T$	0.5	0.6	0.7	0.8	0.9
$s(t)$	0	-0.588	-0.951	-0.951	-0.588

•  $\sin^2(2\pi t/T) = \frac{1}{2} \cdot [1 - \cos(4\pi t/T)]$

- (c) Vergleichen Sie das Ergebnis aus Aufgabenteil (b) mit dem analytisch berechneten S/N-Verhältnis bei einer 4-bit-Quantisierung des Nutzsignals  $s(t)$ .

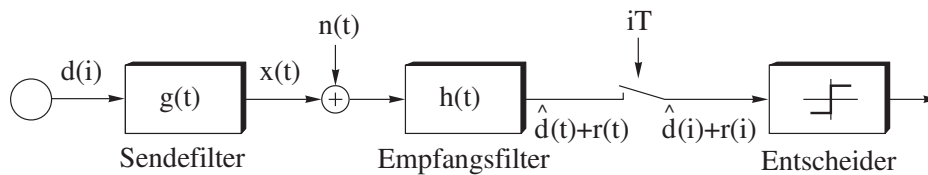
## 4 Digitale Übertragung

**Aufgabe 12: Matched Filter, 1. & 2. Nyquist-Bedingung**

Eine Datenquelle liefert die redundanzfreie Folge  $d(i) \in \{-1, 1\}$ . Im Datensender erfolgt eine rechteckförmige Impulsformung durch

$$g(t) = \begin{cases} 1 & \text{für } -T/2 \leq t < T/2 \\ 0 & \text{sonst} \end{cases}$$

Auf dem Übertragungsweg wird additives weißes Rauschen überlagert.



- (a) Geben Sie die Matched-Filter-Impulsantwort für den Empfänger an. Skizzieren Sie die auf eins normierte Gesamtimpulsantwort  $y(t)$  des Übertragungssystems.

Für die weiteren Aufgabenteile soll die Normierung der Gesamtimpulsantwort auf eins beibehalten werden. Ferner ist die Rauschquelle abgeschaltet.

- (b) Konstruieren Sie das Augendiagramm am Matched-Filter-Ausgang. Prüfen Sie, ob die erste und die zweite Nyquist-Bedingung erfüllt sind und begründen Sie dieses anhand der Gesamtimpulsantwort.
- (c) Am Matched-Filter-Ausgang erfolgt eine Abtastung zu den Zeitpunkten

$$t_i = iT + \Delta t ; \quad |\Delta t| \leq T/2.$$

Bei nichtidealer Abtastung ( $\Delta t \neq 0$ ) ergibt sich Intersymbol-Interferenz. Berechnen Sie das zugehörige  $(S/N)_{ISI}$ -Verhältnis als Funktion von  $\Delta t$ . Wie groß ist das  $(S/N)_{ISI}$  für  $\Delta t = T/2$ ?

**Aufgabe 13: Matched Filter, Fehlerwahrscheinlichkeit**

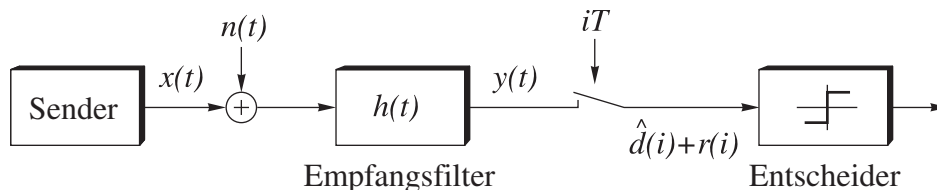
Eine digitale Datenquelle sendet antipodale Symbole  $d(i) \in \{-1, 1\}$  mit der Symbolrate  $1/T = 10$  kbit/s. Die a-priori-Wahrscheinlichkeiten der beiden Daten sind gleich. Es erfolgt eine rechteckförmige Impulsformung; das Ausgangssignal des Datensenders lautet somit

$$x(t) = \sum_{i=-\infty}^{\infty} d(i) g(t - iT) \quad \text{mit} \quad g(t) = \begin{cases} 1 & \text{für } 0 \leq t \leq T \\ 0 & \text{sonst.} \end{cases}$$

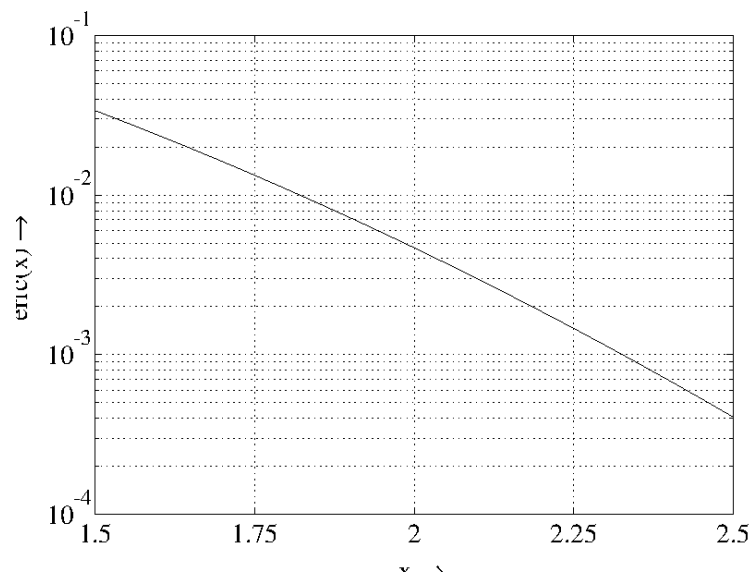
Auf dem Übertragungswege wird weißes, gaußverteiltes Rauschen  $n(t)$  mit einer spektralen Leistungsdichte von

$$S_{nn}(j\omega) = \frac{1}{8} \cdot 10^{-4} \frac{1}{\text{Hz}} \quad \text{für} \quad -\infty \leq \omega \leq \infty$$

überlagert. Am Empfänger erfolgt eine Filterung (Filter-Impulsantwort  $h(t)$ ) und eine Abtastung im Symboltakt, wie es in der folgenden Abbildung gezeigt ist.



- a) Bestimmen Sie die bezüglich der Signal-zu Rauschleistung optimale Impulsantwort  $h(t)$  des Empfangsfilters. Skalieren Sie die Impulsantwort so, daß bei ungestörtem Empfangssignal (d.h.  $n(t) = 0$ ) nach optimaler Symboltakt-Abtastung  $\hat{d}(i)$  die Werte  $+1$  und  $-1$  annimmt.
- b) Berechnen Sie für das so festgelegte Empfangsfilter die Leistung  $\sigma_r^2$  der diskreten Rauschgröße  $r(i)$  am Filterausgang, wenn auf dem Übertragungsweg Rauschen der oben angegebenen Leistungsdichte überlagert wird.
- c) Geben Sie das  $S/N$ -Verhältnis in dB nach der Symboltakt-Abtastung an.
- d) Bestimmen Sie die Bitfehlerwahrscheinlichkeit nach einer Schwellwertentscheidung des Signals  $y(i)$  bei Verwendung der optimalen Schwelle. Den hierzu benötigten Wert der erfc-Funktion können Sie der folgenden Graphik entnehmen.



**Aufgabe 14: Bitfehlerwahrscheinlichkeit**

Das Ergebnis eines Fußballspiels (  $A$ : Sieg der Heim-Mannschaft,  $B$ : Unentschieden,  $C$ : Niederlage der Heim-Mannschaft) soll einem Empfänger mitgeteilt werden, wobei die Ereignisse  $A$ ,  $B$  und  $C$  die gleiche a-priori Wahrscheinlichkeit haben. Dazu wird eine digitale Übertragung im Basisband realisiert, wobei die Ereignisse auf ein zweistufiges Alphabet mit

$$A \rightarrow d(1) = 1; \quad d(2) = 0$$

$$B \rightarrow d(1) = 0; \quad d(2) = 1$$

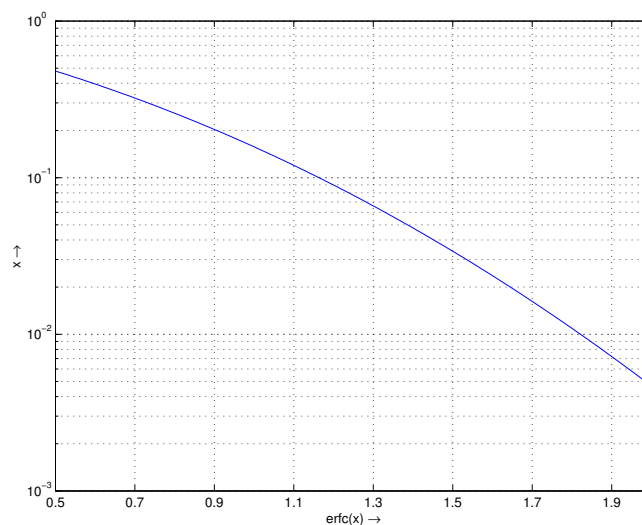
$$C \rightarrow d(1) = 1; \quad d(2) = 1$$

abgebildet werden. Auf dem Übertragungsweg wird das Signal  $d(i)$  von weißem Rauschen mit der Leistung  $\sigma_n^2 = 0.1$  und der Verteilungsdichtefunktion

$$p_n(\zeta) = \frac{1}{\sqrt{2\pi}\sigma_n} \exp(-\zeta^2/(2\sigma_n^2))$$

überlagert.

- (a) Bestimmen Sie die diskrete Verteilungsdichtefunktion des binären Signals  $d(i)$ .
- (b) Legen Sie eine Schwelle  $S$  für die Datenentscheidung von  $d(i)$  so fest, dass die Wahrscheinlichkeit einer Fehlentscheidung  $\hat{d}(i) \neq d(i)$  am Empfänger minimiert wird. Berücksichtigen Sie dabei die in Aufgabenteil (a) ermittelten a-priori Wahrscheinlichkeiten  $\Pr\{d(i) = 0\}$  und  $\Pr\{d(i) = 1\}$ .



- (c) Bestimmen Sie nun mit Hilfe der Funktion  $\text{erfc}$  (siehe Graphik) die bedingte Wahrscheinlichkeit  $\Pr\{\hat{d}(i) = 1|d(i) = 0\}$  (die Wahrscheinlichkeit, dass unter der Bedingung  $d(i) = 0$  das geschätzte Datum  $\hat{d}(i)$  den Wert 1 annimmt). Berechnen Sie außerdem auch die bedingten Wahrscheinlichkeiten  $\Pr\{\hat{d}(i) = 0|d(i) = 1\}$ ,  $\Pr\{\hat{d}(i) = 1|d(i) = 1\}$  und  $\Pr\{\hat{d}(i) = 0|d(i) = 0\}$ .
- (d) Bestimmen Sie die Wahrscheinlichkeit, dass die entschiedenen Daten keinem der Ereignisse  $A$ ,  $B$  oder  $C$  sinnvoll zugeordnet werden können.

Aufgabe 15: Mittlere Symbolenergie bei 16-QAM

Eine Quelle gibt gleichverteilte, statistisch unabhängige Binärdaten mit einer Bitrate von  $1/T_{\text{bit}}$  ab. Es erfolgt eine 16-stufige QAM-Übertragung mit der abgebildeten Signalraumverteilung. Die Datenwerte werden rechteckförmig umgetastet.

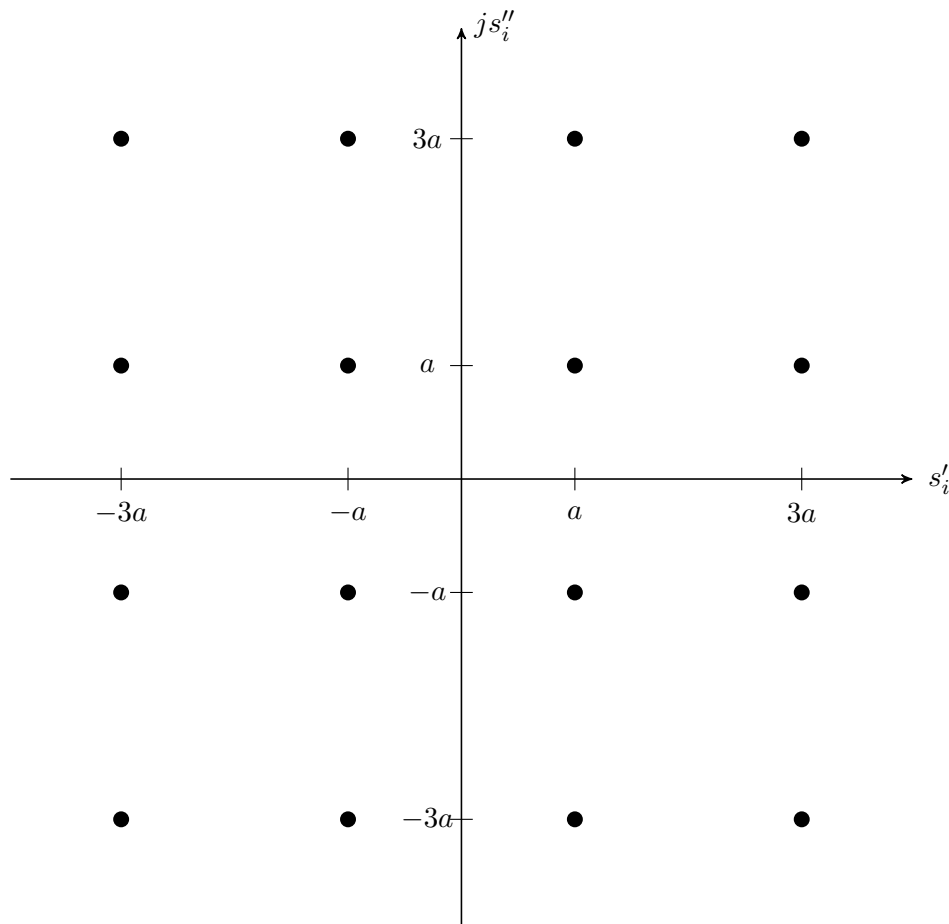


Abbildung 1: 16-QAM-Signalraum

- (a) Geben Sie an, wie viele Bits mit einem 16-QAM-Symbol gesendet werden.
- (b) Was sind die Vor- und Nachteile einer 16-QAM gegenüber einer BPSK?
- (c) Bestimmen Sie den Parameter  $a$ , sodass die mittlere Sendeleistung auf  $\bar{E}_s = E\{|s_i|^2\} = 1$  normiert ist. Geben Sie die im Mittel für jedes Bit aufgewendete Energie  $\bar{E}_b$  an.
- (d) Die modulierten Bits werden nun rechteckförmig umgetastet und über einen AWGN-Kanal mit Rauschleistung  $\sigma_n = 10^{-1}$  gesendet. Bestimmen Sie das mittlere Signal zu Rausch-Verhältnis am Empfänger in dB.

Aufgabe 16: **Differentielle PSK-Modulation**

Gegeben ist ein DPSK-Modulator. Die Zuordnungen zwischen den möglichen Dibit und den Phasendifferenzen sind in nachfolgender Tabelle wiedergegeben.

$\Delta\varphi_\mu$	$\pi/4$	$3\pi/4$	$-3\pi/4$	$-\pi/4$
Dibit	00	01	11	10

- Handelt es sich um eine Gray-Codierung?
- Am Eingang liegt folgende Bitfolge: 00 11 01 10 01  
Geben Sie die Folge der absoluten Phasenwerte  $\varphi(i)$  des gesendeten Signals an. Der Anfangswert der Phase sei  $\varphi(-1) = 0$ .
- Zum Zeitpunkt  $i = 2$  ergibt sich ein Entscheidungsfehler:  $\hat{\varphi}(2) = \varphi(2) + \pi/2$ . Geben Sie die Bitfolge nach der Differenz-Decodierung an.



## 5 Codierung

### Aufgabe 17: Quellencodierung / Huffman-Code

Der Optimal-Code nach Huffman hat den Zweck, die Redundanz innerhalb eines Codewortes zu reduzieren und die mittlere Codewortlänge der Entropie der Quelle anzupassen.

- Bestimmen Sie mittlere Codewortlänge und die Entropie für ein Alphabet von 5 Zeichen. Die Wahrscheinlichkeiten des Auftretens der Zeichen seien zunächst gleich.
- Bestimmen Sie die Redundanzreduzierung mittels Huffman-Codierung für folgende Verteilung der Auftrittswahrscheinlichkeiten dieser 5 Zeichen

$$Pr(X_\nu) = \{0.24, 0.15, 0.3, 0.11, 0.2\} \quad \text{für } \nu = 1, \dots, 5.$$

### Aufgabe 18: Kanalkapazität eines BSC

Leiten Sie für den binären symmetrischen Kanal (BSC) die Kapazität für gleichwahrscheinliche Eingangssymbole  $Pr(X_0) = Pr(X_1) = 0.5$  in Abhängigkeit von der Fehlerwahrscheinlichkeit  $P_e$  ab.

### Aufgabe 19: Distanzeigenschaften / Fehlerkorrektur

Gegeben sei ein  $(n, k)_q$  Blockcode mit der minimalen Distanz  $d_{min} = 8$ .

- Bestimmen Sie die maximale Anzahl der korrigierbaren Fehler und die Anzahl der erkennbaren Fehler bei reiner Fehlererkennung.
- Der Code soll zur Korrektur von 2 Fehlern und zur gleichzeitigen Erkennung von 5 weiteren Fehlern verwendet werden. Zeigen Sie durch Veranschaulichung im Coderaum, dass dies möglich ist.
- Zeigen Sie durch Veranschaulichung im Coderaum, wieviele Möglichkeiten der Veränderung eines Codewortes bei der Übertragung über einen gestörten Kanal zu berücksichtigen sind.

**Aufgabe 20: Nebenklassenzerlegung und Syndromdecodierung**

- a) Geben Sie die Anzahl der Syndrome des  $(7, 4, 3)$ -Hamming-Codes an und vergleichen Sie sie mit der Anzahl korrierbarer Fehlermuster.
- b) Stellen Sie für den systematischen  $(7,4,3)$ -Hamming-Codierer eine Tabelle auf, die alle Syndrome und die zugehörigen Nebenklassenanhänger enthält.
- c) Am Empfänger liege das Wort  $\mathbf{y} = (1\ 1\ 0\ 1\ 0\ 0\ 1)$  an. Welches Informationswort  $\mathbf{u}$  wurde mit größter Wahrscheinlichkeit gesendet?
- d) Durch Umsortieren der Spalten von  $\mathbf{H}$  kann die Suche der Position des Syndroms  $\mathbf{s}$  in  $\mathbf{H}$  entfallen. Die Dezimaldarstellung von  $\mathbf{s}$  kann dann direkt zur Adressierung des Nebenklassenanhängers verwendet werden. Geben Sie die entsprechende Prüfmatrix  $\tilde{\mathbf{H}}$  an.

**Aufgabe 21: Generator- und Prüfmatrizen**

- a) Geben Sie die Generator- als auch die Prüfmatrix für einen  $(n, 1, n)$ -Wiederholungscode mit  $n = 4$  an. Welche Parameter und Eigenschaften hat der duale Code?
- b) Die Spalten der Prüfmatrix eines Hamming-Codes der Ordnung  $r$  repräsentieren bekanntlich alle Dualzahlen von 1 bis  $2^r - 1$ . Geben Sie eine Prüfmatrix für  $r = 3$  an und berechnen Sie die zugehörige Generatormatrix. Bestimmen Sie die Parameter des Codes und geben Sie die Coderate an.
- c) Untersuchen Sie anhand dieses Beispiels, welcher Zusammenhang zwischen der Mindestdistanz eines Codes und der Anzahl linear unabhängiger Spalten der Prüfmatrix  $\mathbf{H}$  steht?